

МЕХАНИКА  
ТВЕРДОГО ТЕЛА  
№ 1 • 1996

УДК 539.3:534.1

© 1996 г. А. В. КОНОНОВ, А. В. МЕТРИКИН

ДИФРАКЦИОННОЕ ИЗЛУЧЕНИЕ  
В ДВУМЕРНЫХ УПРУГИХ СИСТЕМАХ

Динамические процессы, протекающие в упругих системах, взаимодействующих с движущимися объектами, возбуждают в последнее время все более пристальный интерес исследователей [1—5]. Это связано, в первую очередь, с появлением скоростного наземного транспорта и внедрением технологий, использующих быстродействующие машины и механизмы. В таких конструкциях скорость движения объекта становится сравнимой со скоростью распространения волн, что ведет к резкому возрастанию интенсивности процессов волнообразования, обусловленных движущимся объектом. Типичным является случай, когда упругая конструкция неоднородна, и именно ее неоднородность приводит к возбуждению объектом упругих волн. В работах [6, 7] было рассмотрено переходное излучение упругих волн, возникающее при пересечении равномерно движущимся объектом области неоднородности упругой системы. Как показано в данной работе, процесс волнообразования происходит не только при переходе объекта через область неоднородности, но и при его движении вблизи таких областей. По аналогии с электродинамикой [8], возникающее при этом излучение названо дифракционным.

В настоящей работе исследуется равномерное и прямолинейное движение постоянной нагрузки вблизи закрепления. В качестве модели упругой системы выбрана подпружиненная мембрана, закрепленная по полупрямой. В интегральной форме получено точное решение задачи. Показано, что при движении нагрузки вблизи закрепления возникает дифракционное излучение упругих волн. Получено выражение для спектрально-угловой плотности энергии излучения и исследована зависимость диаграммы направленности излучения от параметров задачи.

1. Рассмотрим неограниченную мембрану, лежащую на упругом основании жесткости  $k$  и закрепленную по полупрямой  $\xi : \{y = 0, x > 0\}$ . Пусть вдоль мембранны, со скоростью  $v = (v_x, v_y) = \text{const}$ , равномерно и прямолинейно движется постоянная нагрузка  $P$  (фиг. 1). Согласно [9], краевая задача, описывающая малые колебания мембранны, в этом случае записывается в виде

$$\Delta U - U_{tt}/c^2 - \mu^2 U = F\delta(\mathbf{r} - \mathbf{a} - vt) \quad (1.1)$$

$$U(x, y, t)|_{\xi} = 0 \quad (-\infty < t < +\infty, -\infty < x \text{ и } y < +\infty)$$

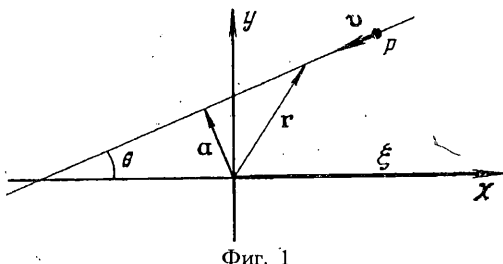
Здесь  $\Delta$  — двумерный лапласиан,  $c^2 = N/\rho$ ,  $\mu^2 = k/N$ ,  $N$  — натяжение мембранны,  $\rho$  — ее поверхностная плотность,  $a$  — расстояние от начала координат до траектории движения нагрузки,  $\delta(\dots)$  — дельта функция,  $\mathbf{r} = (x, y)$  — радиус-вектор.

Решение (1.1) будем искать в виде  $U = U^f + U'$ , где  $U^f$  описывает стационарный прогиб мембранны, движущийся вместе с нагрузкой в случае, когда мембрана не закреплена (в дальнейшем — собственное поле нагрузки), а  $U'$  описывает поле дифракционного излучения, возникающее при движении нагрузки вблизи закрепления. Выражение для  $U^f$  является решением следующей задачи:

$$\Delta U^f - U_{tt}^f/c^2 - \mu^2 U^f = F\delta(\mathbf{r} - \mathbf{a} - vt)$$

$$U^f \rightarrow 0 \quad \text{при} \quad |\mathbf{r} - \mathbf{a} - vt| \rightarrow \infty \quad (1.2)$$

Соответственно, краевая задача для  $U'$  будет иметь вид



Фиг. 1

$$\Delta U^r - U_{tt}^r/c^2 - \mu^2 U^r = 0 \quad (1.3)$$

$$U^r(x, y, t)|_{\xi} = -U^f(x, y, t)|_{\xi}$$

$$U^r(x, y, t) \rightarrow 0 \text{ при } |y| \rightarrow \infty$$

Найдем собственное поле нагрузки  $U^f(r, t)$ . Применяя к (1.2) интегральное преобразование Фурье, получим выражение, описывающее собственное поле в пространстве изображений

$$V_{\omega, k}^f = \frac{2\pi F \delta(\omega - kv)}{(-|k|^2 + (\omega/c)^2 - \mu^2)} \exp(-ika)$$

$$V_{\omega, k}^f = \int_{+\infty}^{-\infty} \int \bar{U}^f(r, t) \exp(i(\omega t - kr)) dr dt$$

где  $ab$  — скалярное произведение векторов  $a$  и  $b$ .

Соответственно оригинал для  $U^f(r, t)$ , после интегрирования по  $\omega$ , будет иметь вид

$$U^f(r, t) = -\frac{F}{4\pi v^2} \int_{-\infty}^{+\infty} \int \frac{\exp(ik(r - a - vt))}{|k|^2 + \mu^2 - (kv/c)^2} dk \quad (1.4)$$

$$dk = dk_x dk_y$$

Вводя в (1.4) новые переменные интегрирования по правилу  $\omega = kv$ ,  $\eta = ka/|a|$ , перепишем (1.4) в виде

$$U^f(r, t) = -\frac{F}{4\pi v^2} \int_{-\infty}^{+\infty} \int \frac{\exp(i(\omega(vr/v^2 - t) + \eta(ar/a - a)))}{\eta^2 + \mu^2 + (\omega^2(1 - \beta^2)/v^2)} d\omega d\eta$$

$$\beta = v/c \quad (1.5)$$

Интегрируя (1.5) по  $\eta$ , получим искомое выражение для  $U^f$ :

$$U^f(r, t) = -\frac{F}{4\pi v} \int_{-\infty}^{+\infty} \frac{\exp(-i(\omega t + (\omega(vr/v^2) - i\lambda(\omega)(ar/a - a))))}{\lambda(\omega)} d\omega$$

$$\lambda(\omega) = \left( \mu^2 + \frac{\omega^2}{v^2} (1 - \beta^2) \right)^{1/2} \quad (1.6)$$

Перейдем к отысканию поля дифракционного излучения  $U^r(r, t)$ . Применяя к (1.3) интегральное преобразование Фурье по координате  $x$  и времени  $t$ , получим в изображениях

$$\frac{d^2}{dy^2} V_{q, \omega}^r - \left( q^2 + \mu^2 - \frac{\omega^2}{c^2} \right) V_{q, \omega}^r = 0 \quad (1.7)$$

$$V_{q, \omega}^r(q, y, \omega)|_{\xi} = -V_{q, \omega}^f(q, y, \omega)|_{\xi} \quad (1.8)$$

$$V_{q, \omega}^{r, f} = \iint_{-\infty}^{+\infty} \exp(i(\omega t - qx)) U^{r, f}(x, y, t) dt dx$$

Решение (1.7) найдем, используя следующее условие излучения: поток энергии дифракционного излучения должен быть направлен от закрепления  $\xi$ . Этому условию удовлетворяет решение (1.6) вида

$$V_{q, \omega}^r = A(q, \omega) \exp(-\gamma|y|) \quad (1.9)$$

$$\gamma = (q - b)^{1/2} (q + b)^{1/2}, \quad b = (\omega^2/c^2 - \mu^2)^{1/2}$$

$$\operatorname{Re} \gamma > 0 \quad \forall q$$

Разрезы плоскости комплексного переменного  $q$ , обеспечивающие выполнение условия  $\operatorname{Re} \gamma > 0 \quad \forall q$ , проведены от точек  $\pm b$  до бесконечности вдоль лучей  $\alpha_+$ :  $\{\operatorname{Im} q = \operatorname{Im} (+b), \operatorname{Re} q \geq \operatorname{Re} (+b)\}$  и  $\alpha_-$ :  $\{\operatorname{Im} q = \operatorname{Im} (-b), \operatorname{Re} q \leq \operatorname{Re} (-b)\}$  соответственно.

Для отыскания неизвестной функции  $A(q, \omega)$  воспользуемся методом, предложенным в [10], следуя которому запишем систему интегральных уравнений относительно  $A(q, \omega)$ :

$$\frac{1}{2\pi} \int_{-\infty}^{+\infty} \exp(iqx) A(q, \omega) dq = \frac{F}{2v\lambda(\omega)} \exp\left(-i\frac{\omega}{v} \cos \theta x - \lambda(\omega) (\sin \theta x + a)\right)$$

$$\text{при } y = 0, \quad x > 0 \quad (1.10)$$

$$\frac{1}{2\pi} \int_{-\infty}^{+\infty} \exp(iqx) \gamma A(q, \omega) dq = 0 \quad \text{при } y = 0, \quad x < 0 \quad (1.11)$$

Уравнение (1.10) получено путем применения обратного преобразования Фурье по координате  $x$  к граничному условию (1.8). Уравнение (1.11) является следствием непрерывности нормальной производной на полуправой ( $y = 0, x < 0$ ), которая принадлежит свободной поверхности мембраны.

Из (1.11) следует, что функция  $\gamma A(q, \omega)$  регулярна в нижней полуплоскости  $q$  ( $\operatorname{Im} q < 0$ ) и не имеет там полюсов. Поэтому  $A(q, \omega)$  должна иметь вид

$$A(q, \omega) = CL(q) \frac{1}{\gamma} \quad (1.12)$$

Здесь  $C$  — константа, не зависящая от  $q$ ,  $L(q)$  — регулярная функция, не имеющая полюсов в нижней полуплоскости  $q$ . Подбирая вид функции  $L(q)$  таким образом, чтобы удовлетворить уравнению (1.10), найдем

$$L(q) = \frac{(q - b)^{1/2}}{q - k_0}, \quad k_0 = i\lambda(\omega) \sin \theta - \frac{\omega}{v} \cos \theta \quad (1.13)$$

Находя  $C$  путем подстановки (1.12), (1.13) в (1.10), получим выражение для  $A(q, \omega)$ :

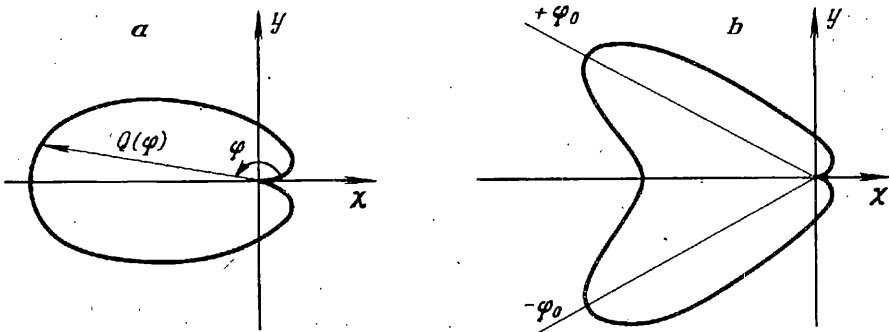
$$A(q, \omega) = -\frac{iF(k_0 c + (\omega^2 - h^2)^{1/2})^{1/2} \exp(-\lambda(\omega) a/c)}{2\beta\lambda(\omega) (q - k_0) (qc + (\omega^2 - h^2)^{1/2})^{1/2}} \quad (1.14)$$

$$h^2 = \mu^2 c^2 = \frac{k}{\rho}, \quad \lambda(\omega) = \left(h^2 + \omega^2 \left(\frac{1 - \beta^2}{\beta^2}\right)\right)^{1/2}$$

Таким образом, согласно (1.9) решение задачи (1.3) будет иметь вид

$$U(x, y, t) = \frac{1}{4\pi^2} \iint_{-\infty}^{+\infty} \exp(i(qx - \omega t) - \gamma|y|) A(q, \omega) dq d\omega \quad (1.15)$$

где  $A(q, \omega)$  определяется выражением (1.14).



Фиг. 2

Согласно теореме существования и единственности решения линейной краевой задачи для уравнений гиперболического типа [10], выражение (1.15) является единственным решением задачи (1.3).

2. Найдем энергию дифракционного  $W'$  излучения, воспользовавшись гамильтоновским методом, изложенным в [11]. Согласно этому методу, излученный волновой пакет рассматривается при больших временах  $t$  ( $t \rightarrow +\infty$ ), когда он отошел далеко от закрепления, и в среднем по пространству поле излучения и собственное поле практически не интерферируют. Следовательно, выражение для  $W'$  может быть записано в виде:

$$W' = \iint_{-\infty}^{+\infty} \varepsilon dx dy \quad (2.1)$$

где  $\varepsilon = (\rho (U_t')^2 + N (U_x')^2 + (U_y')^2 + k (U')^2)/2$  — плотность энергии поля излучения.

Для вычисления (2.1) используем представление  $U'$  в виде (1.15). Подставляя (1.15) в (2.1), получим

$$W' = \frac{\rho}{32\pi^4} \int_{-\infty}^{+\infty} \dots \int \{(-i\omega)(-i\Omega) + c^2(iq)(ix) + c^2(\gamma\alpha) + h^2\}$$

$$A(q, \omega) A(x, \Omega) \exp(-i(\Omega + \omega)t + i(q + x)x - (\gamma + \alpha)|y|) dq dx d\omega d\Omega dx dy \\ \alpha = (x^2 - ((\Omega^2/c^2) - \mu^2)^{1/2}) \quad (2.2)$$

Интегрирование этого выражения по  $x$  дает  $2\pi\delta(x + q)$ , позволяющую вычислить интеграл по  $x$ . Интегрируя затем по  $y$  и по  $\Omega$ , получим

$$W' = \frac{1}{4\pi^2} \iint_{-\infty}^{+\infty} \{ \rho c (\omega^2 - q^2 c^2 - h^2)^{1/2} A(q, \omega) A(-q, -\omega) \} dq d\omega \quad (2.3)$$

Введем угол  $\varphi$  между волновым вектором излучения  $\mathbf{k} = (q, p)$  и положительным направлением оси  $x$ . В этом случае

$$\cos \varphi = \frac{q}{|\mathbf{k}|} = \frac{qc}{(\omega^2 - h^2)^{1/2}}, \quad \sin \varphi = \frac{p}{|\mathbf{k}|} = \frac{(\omega^2 - q^2 c^2 - h^2)^{1/2}}{(\omega^2 - h^2)^{1/2}}$$

Учитывая эти соотношения, перепишем (2.3) в виде

$$W' = \iint_{h=0}^{\infty} Q(\omega, \varphi, \theta) d\omega d\varphi$$

$$Q(\omega, \varphi, \theta) = \frac{\rho F^2 c^2 \omega f (\omega - \beta f \cos \theta) (\sin(\varphi/2))^2 \exp(-2a(h^2 + \omega^2 v)/c)}{4\pi^2 (h^2 + \omega^2 v) ((\omega \cos \theta + \beta f \cos \varphi)^2 + (\omega^2 - \beta^2 f)^2 (\sin \theta)^2) \beta}$$

$$f = (\omega^2 - h^2)^{1/2}, \quad v = (1 - \beta^2)/\beta^2 \quad (2.4)$$

Функция  $Q(\omega, \varphi, \theta)$  описывает спектрально-угловое распределение энергии дифракционного излучения в зависимости от угла  $\theta$ . Анализ (2.4) показал, что качественный вид диаграммы направленности излучения (зависимости  $Q(\varphi)$  при  $\omega = \text{const}$ ,  $\theta = \text{const}$ ), зависит от параметров задачи. При скоростях движения нагрузки, удовлетворяющих условию  $\beta = v/c < \beta_0 = \omega(2 + \cos \theta)/(3 + (\sin \theta)^2) \times \sqrt{\omega^2 - h^2}$  излучение носит дипольный характер  $Q(\omega, \varphi, \theta) \sim (\sin(\varphi/2))^2$  (фиг. 2, а), а при  $\beta > \beta_0$  излучение имеет два максимума (фиг. 2, б) под углами

$$\varphi_0 = \pm \arccos \left\{ 1 - \frac{\omega + \beta (\omega^2 - h^2)^{1/2} \cos \theta}{\beta (\omega^2 - h^2)^{-1/2}} \right\}$$

При  $\beta \rightarrow 1$ ,  $\omega \rightarrow \infty$  максимумы излучения смещаются к углам  $\varphi = \pm(\pi + \theta)$ . Этим углам соответствует излучение в направлении движения нагрузки (излучение вперед) и излучение в зеркально симметричном относительно закрепления направлении.

В настоящей работе дифракционное излучение рассмотрено на примере равномерного и прямолинейного движения нагрузки вдоль мембранны, закрепленной по полупрямой. Данная модель позволила выявить, что причиной возникновения излучения является рассеяние собственного поля нагрузки на закреплении, а также изучить спектральный состав излучения. На примере рассмотренной задачи было показано, что излучение возникает не только при пересечении равномерно и прямолинейно движущимся объектом закрепления, но и при его движении вблизи закрепления. Серьезным недостатком модели с точки зрения механики является бесконечный прогиб упругой системы под объектом. Устранить данный недостаток можно двумя способами: учесть конечность размеров объекта либо ввести в рассмотрение изгибную жесткость направляющей. На этом пути появится возможность ответить на следующие, актуальные для практики вопросы, связанные с дифракционным излучением упругих волн: каковы динамические напряжения в процессе излучения, велика ли реакция излучения, действующая на движущийся объект, и может ли в процессе излучения быть нарушен контакт объекта и направляющей.

#### СПИСОК ЛИТЕРАТУРЫ

1. Fryba L. Vibration of solids and structures under moving loads.— Prague: Academia, 1972. 484 p.
2. Кохманюк С. С., Янютин Е. Г., Романенко Л. Г. Колебания деформируемых систем при импульсных и подвижных нагрузках. Киев: Наук. думка, 1980. 232 с.
3. Cai C. W., Cheung Y. K., Chan H. C. Dynamic response of infinite continuous beams subjected to a moving force — an exact method.//J. Sound and Vibrat. 1988. V. 123. No. 3. P. 461—472.
4. Duffy D. G. The response of an infinite railroad track to a moving, vibrating mass.//Trans. Asme. J. Appl. Mech. 1990. V. 57. No. 1. P. 66—73.
5. Весницкий А. И. Волновые эффекты в упругих системах//Волновая динамика машин. М.: Наука, 1991. С. 15—30.
6. Весницкий А. И., Метрикин А. В. Переходное излучение в одномерных упругих системах//ПМТФ. 1992. № 2. С. 62—67.
7. Кононов А. В., Метрикин А. В. Эффект переходного излучения в двумерной упругой системе//Изв. АН. МТТ. 1994. № 6. С. 95—100.
8. Болотовский Б. М., Воскресенский Т. В. Дифракционное излучение//Успехи физ. наук. 1966. Т. 88. Вып. 2. С. 209—251.
9. Маланов С. Б. Постановка задачи согласованного движения сосредоточенного объекта вдоль двумерной направляющей//Волновые задачи механики. Н. Новгород: Изд-е НФ ИМАШ АН СССР, 1991. С. 11—18.
10. Владимиров В. С. Уравнения математической физики. М.: Наука, 1988. 512 с.
11. Гинзбург В. Л., Цытович В. Н. Переходное излучение и переходное рассеяние. М.: Наука, 1984. 360 с.

Н. Новгород

Поступила в редакцию  
15.IX.1994